

对罗恩泽问题的探讨与发现

Inspiration From Laudau's Ellipsoid

徐九鹏 PB16021529

指导老师：叶邦角 邓友金

— 目录 —

CONTENTS

理论篇

- 罗恩泽理论评述
- 从椭球中得到的灵感
- 电荷投影定理
- 电荷关联定理
- 一般凸曲面电荷分布
- 总结与展望
- 致谢

— 目录 —

CONTENTS

模拟篇

- 椭球MMA模拟两大困难
- 三维等势图
- 二维场线图
- 运算速度测试
- 致谢

罗恩泽理论评述

罗恩泽利用导体等势的条件，沿导体两主曲率方向取随动坐标系，导出了力线与平均曲率的关系：

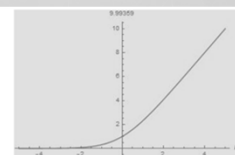
$$\frac{dE}{dn} + 2kE = 0$$

然后他在他的第一篇文章中直接得出

$$E = E_0 e^{-2kn} \quad \Delta V = \frac{E_0}{2k} (e^{-2kn} - 1)$$

表面电荷

$$\sigma = \epsilon E_0 = \frac{2\epsilon k \Delta V}{e^{-2k\Delta n} - 1} \Big|_{\Delta n \rightarrow 0}$$



给定 $\Delta V < 0$ ，由上式画出的 $\sigma-k$ 图如图所示。该曲线表明， k 为正时， k 越大， σ 也越大； k 为负时， k 越负则 σ 就越小。

从椭球中得到的灵感

Laudau 通过使用椭球坐标：

$$\frac{x^2}{a^2+u} + \frac{y^2}{b^2+u} + \frac{z^2}{c^2+u} = 1$$

$$u = \xi, \eta, \zeta$$

将 Laplace 方程化简为

$$\frac{d}{d\xi} \left(R_\xi \frac{d\phi}{d\xi} \right) = 0$$

得到椭球导体的面电荷分布：

$$\sigma = \frac{Q}{4\pi abc} \left(\frac{x^2}{a^4} + \frac{y^2}{b^4} + \frac{z^2}{c^4} \right)^{\frac{1}{2}}$$

$$\begin{aligned} x &= \left[\frac{(\xi+a^2)(\eta+a^2)(\zeta+a^2)}{(b^2-a^2)(c^2-a^2)} \right]^{\frac{1}{2}} \\ y &= \left[\frac{(\xi+a^2)(\eta+a^2)(\zeta+a^2)}{(b^2-a^2)(c^2-a^2)} \right]^{\frac{1}{2}} \\ z &= \left[\frac{(\xi+c^2)(\eta+c^2)(\zeta+c^2)}{(a^2-c^2)(b^2-c^2)} \right]^{\frac{1}{2}} \end{aligned}$$

椭球的法向量：

$$\vec{n} = (bc \sin^2 \theta \cos \varphi, ca \sin^2 \theta \sin \varphi, ab \sin \theta \cos \theta)$$

$$= abc \sin \theta \left(\frac{\sin \theta \cos \varphi}{a}, \frac{\sin \theta \sin \varphi}{b}, \frac{\cos \theta}{c} \right)$$

$$|\vec{n}| = abc \sin \theta \left(\frac{x^2}{a^4} + \frac{y^2}{b^4} + \frac{z^2}{c^4} \right)^{\frac{1}{2}}$$

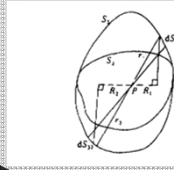
电荷投影定理

定理1：静电平衡的孤立导体内有一点，过这个点作一个对顶椎体，则两个椎体底面上的电荷产生的场强等大反向。

证明：由唯一性定理可知成立。

定理2（电荷投影定理）：将静电平衡的导体的电荷分布，往导体的某截面作投影分布，则所得分布仍是静电平衡时的唯一分布。

由投影定理，不难从椭球分布：



$$\sigma = \frac{Q}{4\pi abc} \left(\frac{x^2}{a^4} + \frac{y^2}{b^4} + \frac{z^2}{c^4} \right)^{\frac{1}{2}}$$

得到圆盘分布

$$\sigma' = \frac{Q}{2\pi a} (a^2 - r^2)^{\frac{1}{2}}$$

电荷关联定理

介绍：(Gauss映射)把可定向曲面的单位法向量(终点P)的起点平移到单位球的球心，得到单位球面上与P对应的一点P'。此映射叫做Gauss映射。



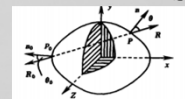
定理3(阿达马定理) M是 \mathbb{R}^3 中的定向紧致无边界的凸曲面，则高斯映射是一一的且在上的。

电荷关联定理

定理(电荷关联定理)：对于任意孤立凸导体，处于静电平衡状态，总电量为Q。选定其上一点P₀为参考点，P₀处的电荷面密度 σ_0 。

则对于导体上的异于P₀的参考点P，其上面密度满足：

$$\sigma = \sqrt{\frac{K}{K_0}} \frac{\cos \theta_0}{\cos \theta} \sigma_0$$



其中，K，K₀是两点处的Gauss曲率， θ ， θ_0 是连线PP₀与两点处外法线方向的夹角。(注：定理的名字是笔者起的。本定理充分否认了面电荷分布只局域的依赖导体的几何性质的观点，而给出了导体上任意两点连线处电荷面密度必然相互关联的“全局”观点，因而名之为电荷关联定理)

证明：对于某一封闭导体S，设其Gauss映射下的球面为S'，设想电荷Q分布在S'上。可以证明，在此映照下，电荷所引力的平衡效应具有空间同时性。为了表示这种不变性，我们同时将S与S'分为一系列无限小立体角元 $\Delta\Omega_1, \Delta\Omega_2, \Delta\Omega_3, \dots$ ，满足 $|\Delta\Omega_1| = |\Delta\Omega_2| = |\Delta\Omega_3| = \dots = |\Delta\Omega|$ 。每个立体角元对应的面元为 $\Delta S_1, \Delta S_2, \Delta S_3, \dots$ 与 ΔS 对应的立体角都是在以所在处的Gauss曲率K的平方根的倒数为半径的与 ΔS 相切的球面的球心为观察点的。这里，我们得到：

$$\Delta S = \frac{\Delta\Omega}{K}$$

静电平衡的导体为一力学平衡系统，其内充满着大量相互排斥的粒子，力程远大于导体的线度，因而平衡时分布到导体表面，并对S面上产生压强。设点P处的压强为p，考察定理中的P，P₀两点，根据牛顿第三定律，应有：

$$(p \cos \theta)(\Delta S \cos \theta) = (p_0 \cos \theta_0)(\Delta S_0 \cos \theta_0)$$

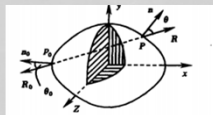
利用上式我们得到

$$p \frac{\Delta\Omega}{K} \cos^2 \theta = p_0 \frac{\Delta\Omega}{K_0} \cos^2 \theta_0$$

回到电荷系统，压强p即是面元在外场中的受力， $p = \frac{1}{2} \epsilon_0 E^2 = \frac{\sigma^2}{2\epsilon_0}$

$$\sigma = \sigma_0 \sqrt{\frac{K_0}{K}} \frac{\cos \theta_0}{\cos \theta}$$

注意：上述过程仅仅只能给予读者一个直观印象，并不能当作证明。



适用范围：笔者证明了，如果一个曲面 $F(x, y, z) = 0$ 满足微分方程：

$$(2\alpha_1\alpha_2x + (\alpha_2\beta_1 + \alpha_1\beta_2)y + (\alpha_2\gamma_1 + \alpha_1\gamma_2)z)(xF'_x + yF'_y + zF'_z) = a(2\alpha_1\alpha_2a + (\alpha_2\beta_1 - \alpha_1\beta_2)y + (\alpha_2\gamma_1 - \alpha_1\gamma_2)z)F'_x$$

第一基本系数

$$E = a^2 + c^2 \frac{y^2}{x^2}$$

$$F = c^2 \frac{x^2}{y^2}$$

$$G = b^2 + c^2 \frac{y^2}{x^2}$$

$$\text{令 } T = a^2b^2c^2 + b^2c^2x^2 + c^2a^2y^2$$

$$\text{Gauss曲率 } K = \frac{LN - M^2}{EG - F^2} = \left(\frac{abc}{T} \right)^2$$

$$\text{代入关联定理得： } \sigma = \frac{Q}{4\pi} \frac{1}{\sqrt{F}}$$

那么电荷关联定理就是适用的！

第二基本系数

$$L = \frac{abc}{x^2} \sqrt{T} (1 - \eta^2)$$

$$M = \frac{abc}{x^2} \sqrt{T} \xi \eta$$

$$N = \frac{abc}{x^2} \sqrt{T} (1 - \xi^2)$$

如此简洁！

一般凸曲面上的电荷分布

对于导体曲面 $F(x, y, z) = 0$ ，如果我们把电势写成 $\psi = \psi(F)$

$$\text{则 } \nabla \psi = \frac{d\psi}{dF} \nabla F$$

$$\nabla^2 \psi = \nabla \left(\frac{d\psi}{dF} \nabla F \right) = \frac{d^2\psi}{dF^2} (\nabla F)^2 + \frac{d\psi}{dF} \nabla^2 F$$

$$\text{记 } u = \frac{d\psi}{dF}$$

Laplace方程 $\nabla^2 \psi = 0$ 变成了：

$$\frac{du}{dF} = \frac{d(\ln u)}{dF} = - \frac{\nabla^2 F}{(\nabla F)^2}$$

$$\text{那么 } u = \frac{d\psi}{dF} = \exp \left(- \int \frac{\nabla^2 F}{(\nabla F)^2} dF \right)$$

$$\text{则 } \psi = \int \exp \left(- \int \frac{\nabla^2 F}{(\nabla F)^2} dF \right) dF$$

表发出，全在于 $\frac{\nabla^2 F}{(\nabla F)^2}$ 能否表示为F的全微分。

对于椭圆的情形，笔者证明了：

$$\frac{\nabla^2 u}{(\nabla u)^2} = \frac{1}{2} \left(\frac{x^2}{a^2+u} + \frac{y^2}{b^2+u} + \frac{z^2}{c^2+u} \right)$$

直接代入，并利用u极大时，椭圆近似为球体的条件

$$\text{再一次得椭圆分布 } \sigma = \frac{Q}{4\pi abc} \left(\frac{x^2}{a^4} + \frac{y^2}{b^4} + \frac{z^2}{c^4} \right)^{\frac{1}{2}}$$

总结

1. 根据电荷投影定理，已知某个立体表面的电荷分布，就可以求得其在投影面上的电荷分布。这可以有效避免我们在运算时可能会碰到的无穷大难题。

2. 文献[4]中给出的电荷关联定理不是普适的，但在满足上文的几何性质的导体上适用。这仍不失为一种很好的计算方法。它给出了在这种情况下导体面电荷密度的定量公式

3. 罗恩泽的想求得电荷面密度与导体局部几何形状的思想是错误的，至少在一般情况下是不正确的。而文献[7]中所谓“导体面电荷密度与法向量成正比”的结论更是不可能的，它仅仅适用于个例。为了进一步指出罗恩泽理论的根本的错误，笔者举出下例：

卡西尼卵形线上的“面电荷”分布(二维情形)

用保角变换法求得其上面电荷密度为：

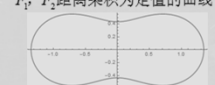
$$\sigma = \frac{|H|}{2\pi b} r \propto r$$

而卡西尼卵形面上的电荷密度则更复杂：

$$48\pi^2 b^2 a^2 - 32\pi^2 b^4 A H a^2 + (a^4 - b^4) A^4 = 0$$

卡西尼卵形线：到平面上两点

F₁, F₂距离乘积为定值的曲线



鸣谢

- 笔者撰写论文的过程中，曾受到过许多帮助，甚为感谢，兹列如下：
- 中国科大16级物理学院1班李文博同学与笔者进行了长期的交流，给了笔者许多启发，以及精神上的慰藉。
- 物院1班的孙子庭同学提醒笔者可引入格林函数来利用导体的局域特性，使得笔者的研究方向更加丰富。
- 清华大学16级胡其伟同学提醒笔者要带有批判的眼光看文献，这是后来笔者考虑证伪电荷关联定理的动力源泉。
- 武汉轻工大学16级陈取同学为我提供了许多技术支持，非常感谢。
- 我的两位老师，叶老师带给我丰厚的学术知识，极大地拓宽我的视野；邓老师鼓励同学大胆创新，让我不断前进。能成为老师们的学生，笔者感到万分荣幸。

参考文献

- [1].《电磁学专题研究》，陈秉乾，舒幼生，胡望雨著。
- [2].《孤立导体的拉普拉斯方程解》曹国良
- [3].《任意形状带电导体表面电荷分布定理》，山东大学学报，2003
- [4].《微分几何讲义》苏步青著
- [5].《数学分析教程（下册）》，常庚哲，史济怀
- [6].《电荷投影法及其应用》
- [7].《关于孤立导体表面的电荷分布规律的讨论》冯家望
- [8].《导体表面的电荷分布》王俊
- [9].《连续介质电动力学（上册）》朗道·栗弗席兹
- [10].《数学物理方程及其近似方法》程建春著 P44~P47

- [11]罗恩泽 物理通报 1984（3）
- [12]《导体椭球的电势分布》张之翔
- [13].《电磁学与电动力学》P33~37 胡友秋 程福臻 刘之景 叶邦角 著
- [14].《复变函数论（第四版）》高等教育出版社 钟玉泉
- [15].《微分几何（第四版）》高等教育出版社 梅向明 等

基于MMA的椭球模拟遇到的三大难题。

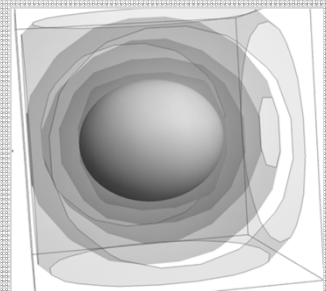
- 发散难题——椭球边界处的 $\frac{1}{0}$ ，系统停止计算。
- 计算难题——椭圆积分不可积
- 精度难题——MMA内置的函数精度低下，模拟效果差

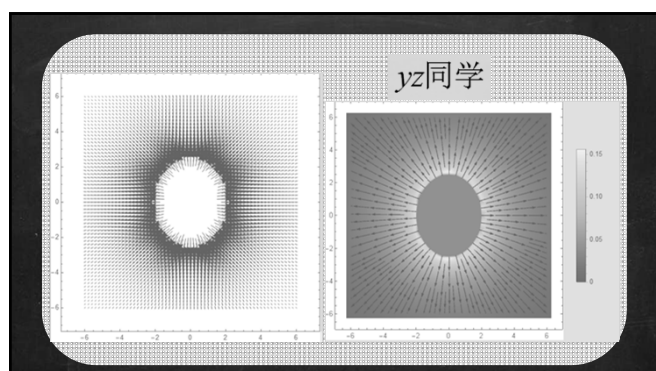
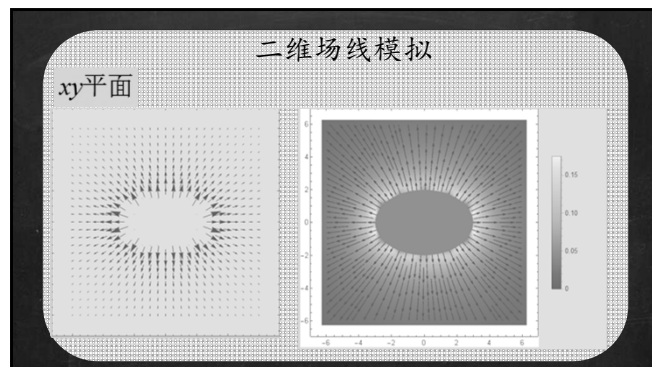
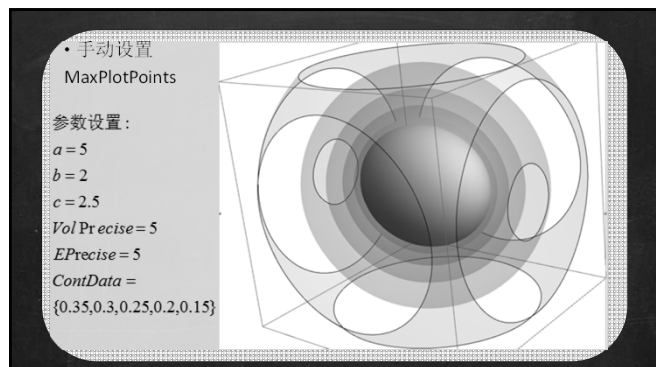
边界上 $\frac{1}{0}$ 困难，导致系统的计算很混乱，为了保持模拟的真实性，我们画一个椭球挡住。

椭圆积分不可积，故采取数值积分。而数值积分有精度的问题，故需要调制参数，找到又快又好的模拟结果

三维电势分布图

系统默认参数绘制图





鸣谢

• 第二部分的内容主要是王博同学完成的。笔者在调研的过程中，发现没有任何一篇论文里有关于椭圆电场的模拟工作。而笔者本人在试图摸索模拟方法时，又遇到了前面所述的三大难题。因此，笔者求助于王博同学，他出乎意料地完美地完成了所有工作，我为此非常感谢他。

The End

Mit Trauer und Entscheidung im Herzen
 Zeigen wir den Willen weiterzugehen
 Niemand darf eigensinnig seines Lebens
 beraubt werden